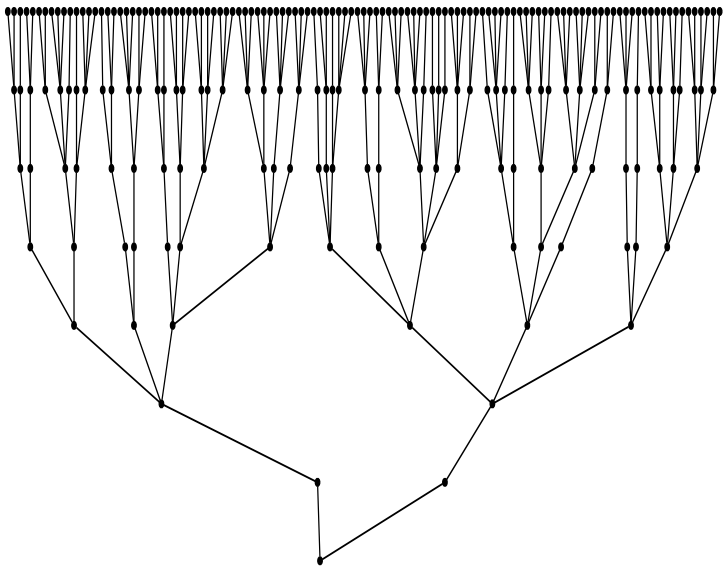


Marches aléatoires sur les arbres aléatoires

Pierre Rousselin

LAGA
Université Paris 13

17 décembre 2018



Les arbres et leurs bords

Marche aléatoire λ -biaisée

Théorie ergodique sur les arbres de Galton-Watson

Arbres à longueurs récursives

Arbres pondérés aléatoires : cas transient

Arbres pondérés aléatoires : cas sous-diffusif

Les arbres et leurs bords

Marche aléatoire λ -biaisée

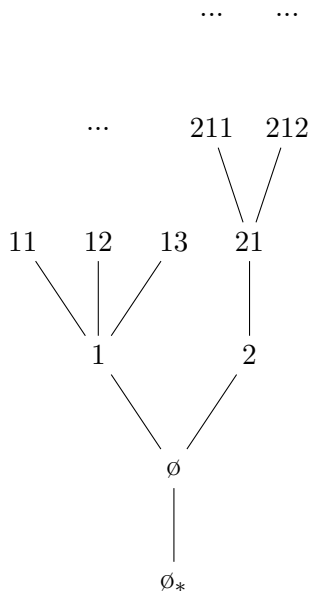
Théorie ergodique sur les arbres de Galton-Watson

Arbres à longueurs récursives

Arbres pondérés aléatoires : cas transient

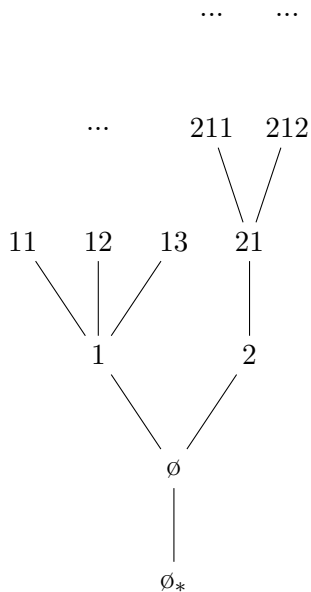
Arbres pondérés aléatoires : cas sous-diffusif

Arbres plans : notation de Neveu



- ▶ Arbre t : partie de l'ensemble des mots finis sur \mathbb{N}^* ;
- ▶ enraciné en \emptyset ;
- ▶ parent artificiel de la racine \emptyset_* ;
- ▶ hauteur dans l'arbre : $|212| = 3$.
- ▶ parent : $(212)_* = 21$;
- ▶ nombre d'enfants : $\nu_t(1) = 3$;
- ▶ hypothèse :
 $\forall x \in t, \nu_t(x) \in [1, \infty[.$

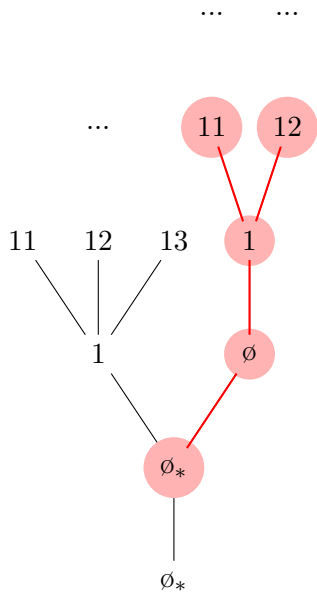
Sous-arbre réindexé



t un arbre et x dans t .

$$t[x] = \{y \in t : xy \in t\}.$$

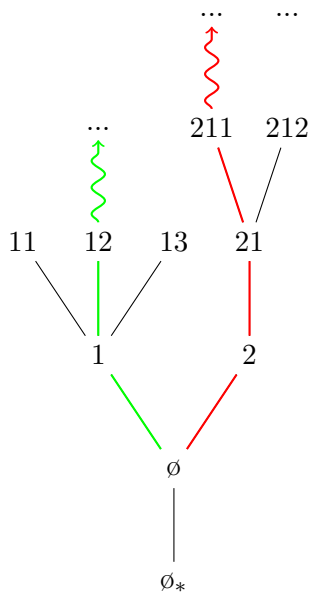
Sous-arbre réindexé



t un arbre et x dans t .

$$t[x] = \{y \in t : xy \in t\}.$$

Bord d'un arbre



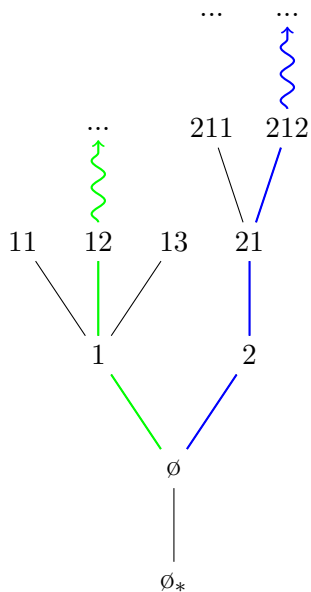
- ▶ Rayon ξ de l'arbre t : suite infinie de sommets

$$\xi = (\xi_0 = \emptyset, \xi_1, \xi_2, \dots)$$

telle que pour tout i , ξ_{i+1} est un enfant de ξ_i ;

- ▶ Bord ∂t de t : ensemble de ses rayons ;
- ▶ $\xi \neq \eta \in \partial t \mapsto \xi \wedge \eta$: plus grand préfixe commun de ξ et η .

Bord d'un arbre



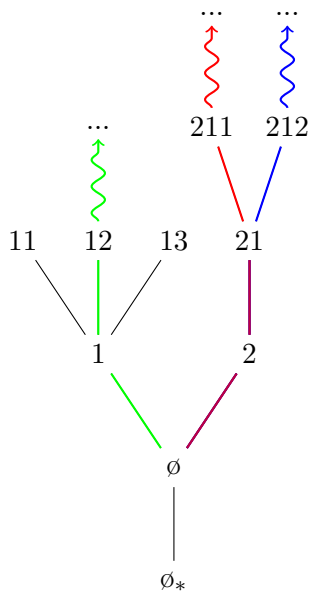
- ▶ Rayon ξ de l'arbre t : suite infinie de sommets

$$\xi = (\xi_0 = \emptyset, \xi_1, \xi_2, \dots)$$

telle que pour tout i , ξ_{i+1} est un enfant de ξ_i ;

- ▶ Bord ∂t de t : ensemble de ses rayons ;
- ▶ $\xi \neq \eta \in \partial t \mapsto \xi \wedge \eta$: plus grand préfixe commun de ξ et η .

Bord d'un arbre



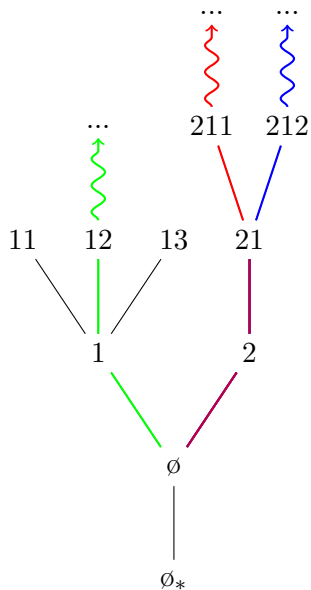
- ▶ Rayon ξ de l'arbre t : suite infinie de sommets

$$\xi = (\xi_0 = \emptyset, \xi_1, \xi_2, \dots)$$

telle que pour tout i , ξ_{i+1} est un enfant de ξ_i ;

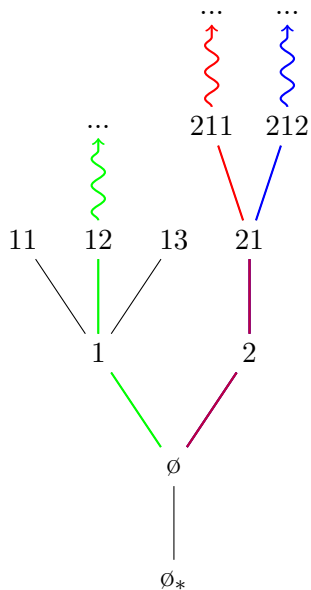
- ▶ Bord ∂t de t : ensemble de ses rayons ;
- ▶ $\xi \neq \eta \in \partial t \mapsto \xi \wedge \eta$: plus grand préfixe commun de ξ et η .

Topologie sur ∂t



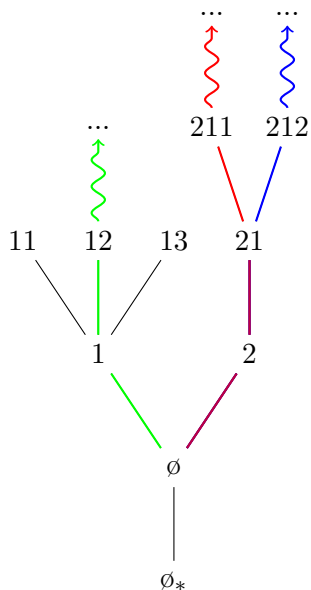
- ▶ $t \ni x \mapsto [x]_t \subset \partial t$, ensemble des rayons de t qui passent par x : *cylindre* issu de x dans t .
- ▶ Si deux cylindres ne sont pas disjoints, alors l'un est inclus dans l'autre.

Topologie sur ∂t



- ▶ $t \ni x \mapsto [x]_t \subset \partial t$, ensemble des rayons de t qui passent par x : *cylindre* issu de x dans t .
- ▶ Si deux cylindres ne sont pas disjoints, alors l'un est inclus dans l'autre.
- ▶ Topologie engendrée par les cylindres ;
- ▶ Métrisable par exemple par : $d_{\mathcal{U}_\infty}(\xi, \eta) = \exp(-|\xi \wedge \eta|)$.
- ▶ $(\partial t, d_{\mathcal{U}_\infty})$ est ultramétrique et compact.

Probabilités boréliennes sur le bord d'un arbre



- ▶ Tribu borélienne (aussi engendrée par les cylindres).
- ▶ À M , probabilité borélienne sur ∂t , on associe $\theta_M : t \rightarrow [0, 1]$ définie par

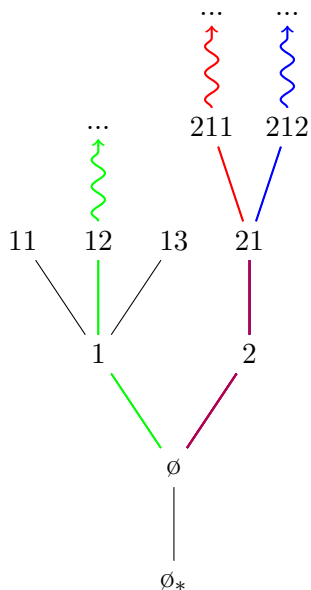
$$\theta_M(x) = M[x]_t.$$

- ▶ $\theta_M(\emptyset) = 1$ et pour tout x dans t ,

$$\theta_M(x) = \sum_{i=1}^{\nu_t(\emptyset)} \theta_M(xi)$$

- ▶ Une telle fonction est appelée un *flot* (unitaire) sur l'arbre t .

Probabilités boréliennes sur le bord d'un arbre



- ▶ Tribu borélienne (aussi engendrée par les cylindres).
- ▶ À M , probabilité borélienne sur ∂t , on associe $\theta_M : t \rightarrow [0, 1]$ définie par

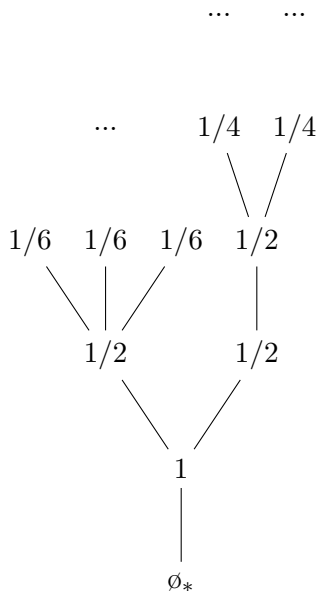
$$\theta_M(x) = M[x]_t.$$

- ▶ $\theta_M(\emptyset) = 1$ et pour tout x dans t ,

$$\theta_M(x) = \sum_{i=1}^{\nu_t(\emptyset)} \theta_M(xi)$$

- ▶ Une telle fonction est appelée un *flot* (unitaire) sur l'arbre t .
- ▶ $M \mapsto \theta_M$ est une bijection.

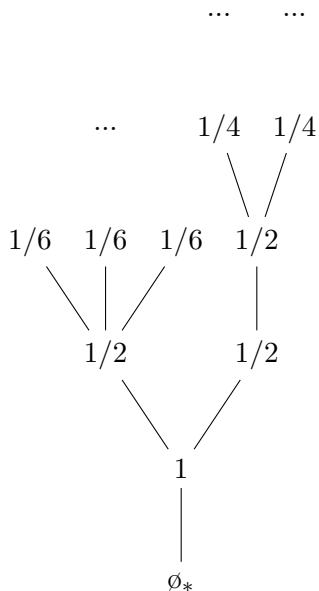
Un exemple : la mesure de visibilité



Définition récursive :

- ▶ $\text{VIS}_t(\emptyset) = 1$
- ▶ pour tout sommet x et tout enfant y de x ,
 $\text{VIS}_t(y) = \text{VIS}_t(x) / \nu_t(x)$.

Un exemple : la mesure de visibilité



Définition récursive :

- ▶ $\text{VIS}_t(\emptyset) = 1$
- ▶ pour tout sommet x et tout enfant y de x ,
 $\text{VIS}_t(y) = \text{VIS}_t(x) / \nu_t(x)$.

Point de vue probabiliste :

Loi d'un rayon Ξ (partant de \emptyset) obtenu par « marche aléatoire simple vers l'avant » depuis \emptyset .

Mesures et dimensions de Hausdorff : motivation

Si $\xi \in \partial t$ n'est pas un atome de θ ($\theta(\xi_n) \rightarrow 0$), on s'intéresse à :

$$\lim_{n \rightarrow \infty} \left\{ \begin{array}{c} \sup \\ \inf \end{array} \right\} \frac{\theta(\xi_n)}{\varphi(\xi_n)} \text{ ou, (plus facile) } \lim_{n \rightarrow \infty} \left\{ \begin{array}{c} \sup \\ \inf \end{array} \right\} \frac{\log \theta(\xi_n)}{\log \varphi(\xi_n)},$$

avec $\varphi : t \rightarrow \mathbb{R}_+$ définie, par exemple, par

- ▶ $\varphi(x) = e^{-\alpha|x|}$ pour $\alpha > 0$;
- ▶ $\varphi(x) = (\text{diam}^d[x]_t)^\alpha$ pour $\alpha > 0$ et une « bonne » distance d sur ∂t ;
- ▶ une autre quantité d'intérêt du modèle...

Mesures et dimensions de Hausdorff : motivation

Si $\xi \in \partial t$ n'est pas un atome de θ ($\theta(\xi_n) \rightarrow 0$), on s'intéresse à :

$$\lim_{n \rightarrow \infty} \left\{ \begin{array}{c} \sup \\ \inf \end{array} \right\} \frac{\theta(\xi_n)}{\varphi(\xi_n)} \text{ ou, (plus facile) } \lim_{n \rightarrow \infty} \left\{ \begin{array}{c} \sup \\ \inf \end{array} \right\} \frac{\log \theta(\xi_n)}{\log \varphi(\xi_n)},$$

avec $\varphi : t \rightarrow \mathbb{R}_+$ définie, par exemple, par

- ▶ $\varphi(x) = e^{-\alpha|x|}$ pour $\alpha > 0$;
- ▶ $\varphi(x) = (\text{diam}^d[x]_t)^\alpha$ pour $\alpha > 0$ et une « bonne » distance d sur ∂t ;
- ▶ une autre quantité d'intérêt du modèle...

Les mesures et dimensions de Hausdorff et de packing permettent de faire le lien entre ces notions *locales* et des notions plus *globales*.

φ -densité supérieure et φ -mesure de Hausdorff

φ -densité supérieure de θ en $\xi \in \partial t$:

$$\bar{d}_\theta^\varphi(\xi) = \limsup_{n \rightarrow \infty} \frac{\theta(\xi_n)}{\varphi(\xi_n)}.$$

Pour $n \geq 1$ et $E \subset \partial t$, $t \supset \mathcal{C} \in \mathbf{Cov}_n(E)$ ssi

- ▶ $\forall x \in \mathcal{C}, |x| \geq n$;
- ▶ $E \subset \bigcup_{x \in \mathcal{C}} [x]_t$.

φ -mesure de Hausdorff de E :

$$\mathcal{H}^\varphi(E) = \lim_{n \rightarrow \infty}^\uparrow \inf \left\{ \sum_{x \in \mathcal{C}} \varphi(x) : \mathcal{C} \in \mathbf{Cov}_n(E) \right\}.$$

φ -densité supérieure et φ -mesure de Hausdorff

φ -densité supérieure de θ en $\xi \in \partial t$:

$$\bar{d}_\theta^\varphi(\xi) = \limsup_{n \rightarrow \infty} \frac{\theta(\xi_n)}{\varphi(\xi_n)}.$$

Pour $n \geq 1$ et $E \subset \partial t$, $t \supset \mathcal{C} \in \mathbf{Cov}_n(E)$ ssi

- ▶ $\forall x \in \mathcal{C}, |x| \geq n$;
- ▶ $E \subset \bigcup_{x \in \mathcal{C}} [x]_t$.

φ -mesure de Hausdorff de E :

$$\mathcal{H}^\varphi(E) = \lim_{n \rightarrow \infty}^\uparrow \inf \left\{ \sum_{x \in \mathcal{C}} \varphi(x) : \mathcal{C} \in \mathbf{Cov}_n(E) \right\}.$$

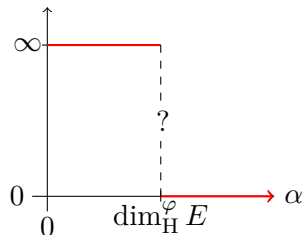
Théorème de la densité supérieure :

$$\inf_{\xi \in E} \bar{d}_\theta^\varphi(\xi) \mathcal{H}^\varphi(E) \leq \theta(E) \leq \sup_{\xi \in E} \bar{d}_\theta^\varphi(\xi) \mathcal{H}^\varphi(E).$$

φ -dimension de Hausdorff d'une partie de ∂t

Ici, on pense à $\varphi : x \mapsto e^{-|x|}$ ou $\varphi : x \mapsto \text{diam}^d[x]_t$.

$\mathcal{H}^{\varphi^\alpha}(E)$



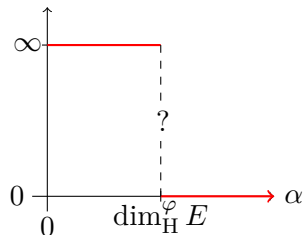
La φ -dimension de Hausdorff de E est

- ▶ la borne inférieure des $\alpha > 0$ tels que $\mathcal{H}^{\varphi^\alpha}(E) = 0$ et
- ▶ la borne supérieure des $\alpha > 0$ tels que $\mathcal{H}^{\varphi^\alpha}(E) = \infty$.

φ -dimension de Hausdorff d'une partie de ∂t

Ici, on pense à $\varphi : x \mapsto e^{-|x|}$ ou $\varphi : x \mapsto \text{diam}^d[x]_t$.

$\mathcal{H}^{\varphi^\alpha}(E)$



La φ -dimension de Hausdorff de E est

- ▶ la borne inférieure des $\alpha > 0$ tels que $\mathcal{H}^{\varphi^\alpha}(E) = 0$ et
- ▶ la borne supérieure des $\alpha > 0$ tels que $\mathcal{H}^{\varphi^\alpha}(E) = \infty$.

Théorème (Hawkes 1981, Lyons 1990)

Si T est un arbre de Galton-Watson infini, et m est la moyenne de sa loi de reproduction, alors,

$$\dim_{\text{H}}^\varphi \partial T = \log m \quad p.s.$$

φ -dimension(s) d'un flot

- ▶ φ -dimension locale inférieure en $\xi \in \partial t$:

$$\underline{\dim}_{\text{loc}}^{\varphi} \theta(\xi) = \liminf_{n \rightarrow \infty} \frac{\log \theta(\xi_n)}{\log \varphi(\xi_n)};$$

- ▶ φ -dimension de Hausdorff (supérieure) de θ :

$$\overline{\dim}_{\text{H}}^{\varphi} \theta = \min \{ \dim_{\text{H}}^{\varphi}(C) : C \text{ borélien tel que } \theta(C) = 1 \}.$$

- ▶ Théorème de la dimension locale inférieure :

$$\theta - \text{sup ess } \underline{\dim}_{\text{loc}}^{\varphi} \theta = \overline{\dim}_{\text{H}}^{\varphi} \theta.$$

Exacte-dimensionnalité

Definition

S'il existe $\alpha \in [0, \infty]$ tel que pour θ -presque tout ξ dans ∂t ,

$$\lim_{n \rightarrow \infty} \frac{\log \theta(\xi_n)}{\log \varphi(\xi_n)} = \alpha,$$

θ est dit φ -exactement dimensionnel et on écrit $\dim^\varphi \theta = \alpha$.

Si $\varphi(x) = e^{-|x|}$ et $\Xi \sim \theta$, cela revient à dire que la variable aléatoire

$$\lim_{n \rightarrow \infty} \frac{-1}{n} \log \theta(\Xi_n)$$

existe et est dégénérée.

Chute de dimension

Définition

Si $\overline{\dim}_{\mathbb{H}}^{\varphi} \theta < \dim_{\mathbb{H}}^{\varphi} \partial t$, on dit que la phénomène de chute de dimension se produit pour θ .

Phénomène de concentration : existence d'un borélien C_{θ} de ∂t tel que

- ▶ $\overline{\dim}_{\mathbb{H}}^{\varphi} \theta = \dim_{\mathbb{H}}^{\varphi} C_{\theta} < \dim_{\mathbb{H}}^{\varphi} \partial t$ et
- ▶ si $\Xi \sim \theta$, alors $\Xi \in C_{\theta}$, p.s.

Les arbres et leurs bords

Marche aléatoire λ -biaisée

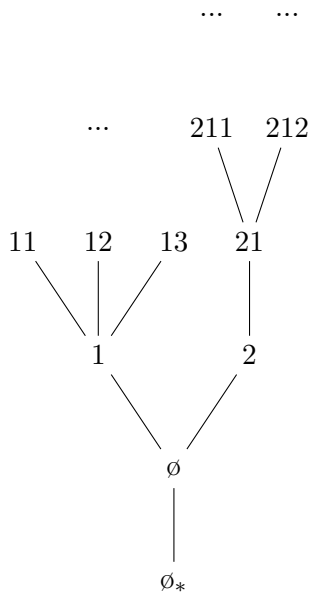
Théorie ergodique sur les arbres de Galton-Watson

Arbres à longueurs récursives

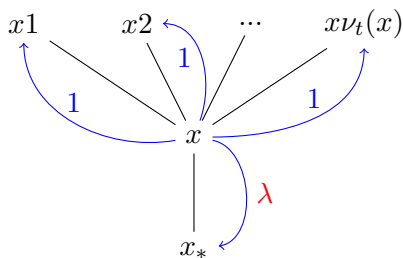
Arbres pondérés aléatoires : cas transient

Arbres pondérés aléatoires : cas sous-diffusif

Marche aléatoire λ -biaisée sur un arbre



Soit $\lambda > 0$.



Exemple :

$$\begin{aligned}
 P_{\emptyset}^t(X_1 = 1, X_2 = \emptyset, X_3 = 2) \\
 = \frac{1}{\lambda + 2} \times \frac{\lambda}{\lambda + 3} \times \frac{1}{\lambda + 2}.
 \end{aligned}$$

Conductance

Définition

Soit, pour y dans t , $\tau_y = \inf\{n \geq 0 : X_n = y\}$. La conductance de l'arbre t est

$$\beta(t) = P_\emptyset(\tau_{\emptyset_*} = \infty).$$

Conductance

Définition

Soit, pour y dans t , $\tau_y = \inf\{n \geq 0 : X_n = y\}$. La conductance de l'arbre t est

$$\beta(t) = P_\emptyset(\tau_{\emptyset_*} = \infty).$$

$\beta(t) > 0$ ssi la marche aléatoire est transiente.

$$\beta(t) = \frac{\sum_{j=1}^{\nu_t(\emptyset)} P(\emptyset, j)\beta(t[j])}{P(\emptyset, \emptyset_*) + \sum_{j=1}^{\nu_t(\emptyset)} P(\emptyset, j)\beta(t[j])}.$$

Conductance

Définition

Soit, pour y dans t , $\tau_y = \inf\{n \geq 0 : X_n = y\}$. La conductance de l'arbre t est

$$\beta(t) = P_\emptyset(\tau_{\emptyset^*} = \infty).$$

$\beta(t) > 0$ ssi la marche aléatoire est transiente.

Pour la marche λ -biaisée,

$$\beta(t) = \frac{\sum_{j=1}^{\nu_t(\emptyset)} \lambda \times \beta(t[j])}{\lambda + \sum_{j=1}^{\nu_t(\emptyset)} \lambda \times \beta(t[j])}.$$

Marche aléatoire λ -biaisée sur un arbre de Galton-Watson

Moyenne de la loi de reproduction : $m = \sum_{k \geq 1} kp_k$.

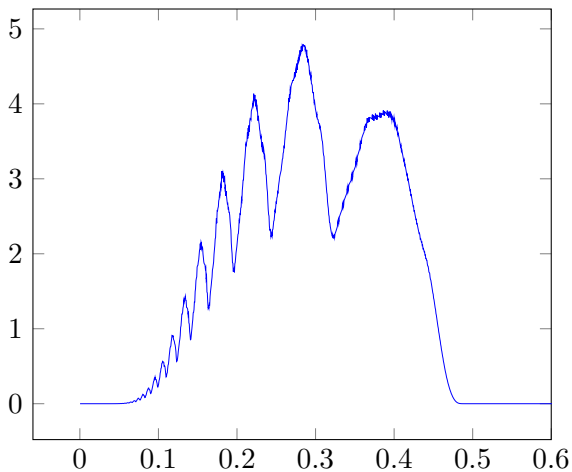
Théorème (Lyons, 1990)

La marche aléatoire λ -biaisée est presque sûrement transiente si $0 < \lambda < m$ et est presque sûrement récurrente sinon.

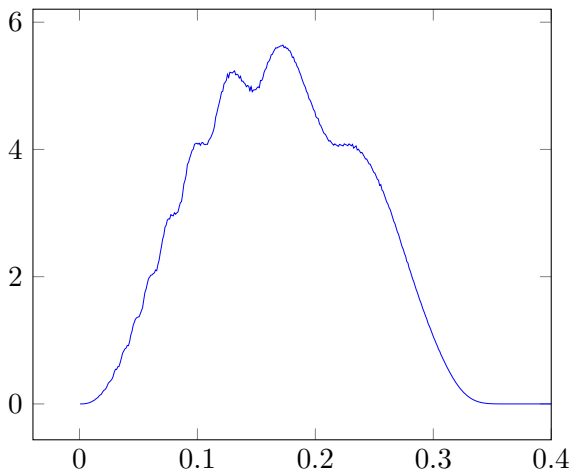
La conductance de T vérifie l'équation distributionnelle récursive :

$$\beta(T) = \frac{\sum_{j=1}^{\nu_T(\emptyset)} \beta(T[j])}{\lambda + \sum_{j=1}^{\nu_T(\emptyset)} \beta(T[j])}.$$

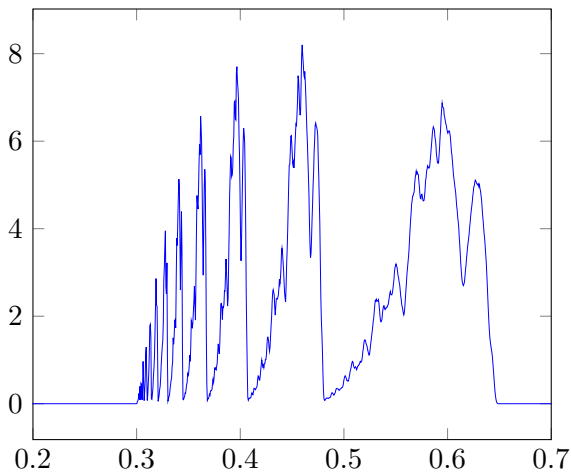
Densité apparente de β pour $\lambda = 1$ et $p_1 = p_2 = 1/2$



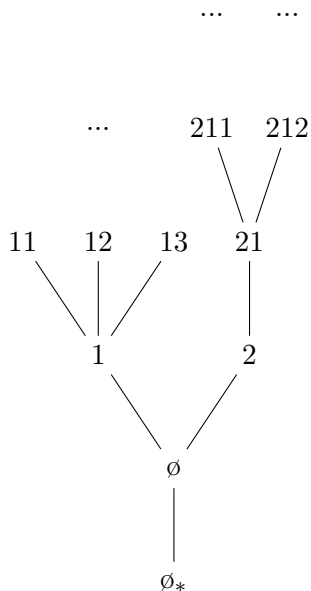
Densité apparente de β pour $\lambda = 1,2$ et $p_1 = p_2 = 1/2$



Densité apparente de β pour $\lambda = 0,7$ et $p_1 = p_2 = 1/2$



Temps de sortie



Soit $\mathbf{X} = (X_0, X_1, \dots)$ une trajectoire transiente issue de la racine \emptyset dans t .

- ▶ Ensemble des temps de sortie de \mathbf{X} :

$$\text{et}(\mathbf{X}) := \{s \geq 0 : \forall k > s, X_k \neq (X_s)_*\},$$

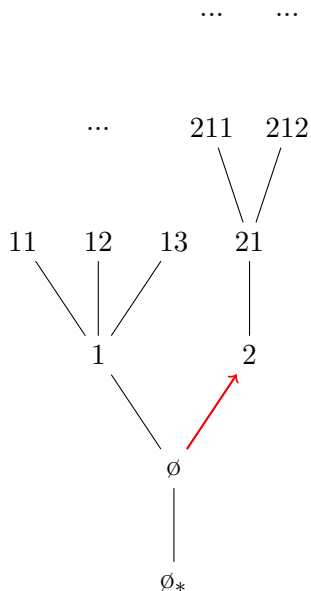
- ▶ numérotés $\text{et}_0(\mathbf{X}) < \text{et}_1(\mathbf{X}) < \dots$.

- ▶ Points de sortie :

$$\text{ep}_0(\mathbf{X}) = X_{\text{et}_0(\mathbf{X})} = \emptyset,$$

$$\text{ep}_1(\mathbf{X}) = X_{\text{et}_1(\mathbf{X})}, \dots$$

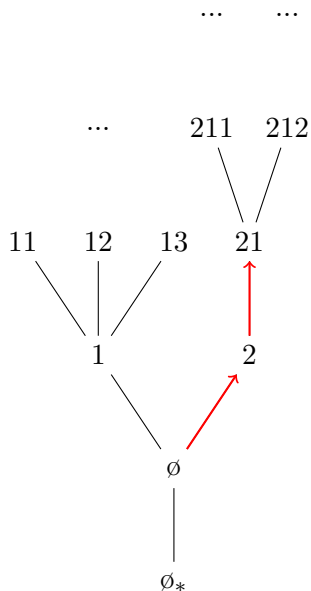
Temps de sortie



Soit $\mathbf{X} = (X_0, X_1, \dots)$ une trajectoire transiente issue de la racine \emptyset dans t .

- ▶ Ensemble des temps de sortie de \mathbf{X} :
$$\text{et}(\mathbf{X}) := \{s \geq 0 : \forall k > s, X_k \neq (X_s)_*\},$$
- ▶ numérotés $\text{et}_0(\mathbf{X}) < \text{et}_1(\mathbf{X}) < \dots$.
- ▶ Points de sortie :
$$\text{ep}_0(\mathbf{X}) = X_{\text{et}_0(\mathbf{X})} = \emptyset,$$
$$\text{ep}_1(\mathbf{X}) = X_{\text{et}_1(\mathbf{X})}, \dots$$

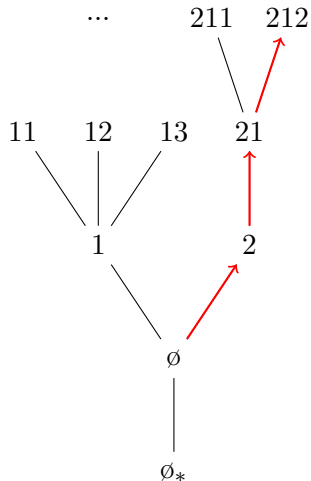
Temps de sortie



Soit $\mathbf{X} = (X_0, X_1, \dots)$ une trajectoire transiente issue de la racine \emptyset dans t .

- ▶ Ensemble des temps de sortie de \mathbf{X} :
$$\text{et}(\mathbf{X}) := \{s \geq 0 : \forall k > s, X_k \neq (X_s)_*\},$$
- ▶ numérotés $\text{et}_0(\mathbf{X}) < \text{et}_1(\mathbf{X}) < \dots$.
- ▶ Points de sortie :
$$\text{ep}_0(\mathbf{X}) = X_{\text{et}_0(\mathbf{X})} = \emptyset,$$
$$\text{ep}_1(\mathbf{X}) = X_{\text{et}_1(\mathbf{X})}, \dots$$

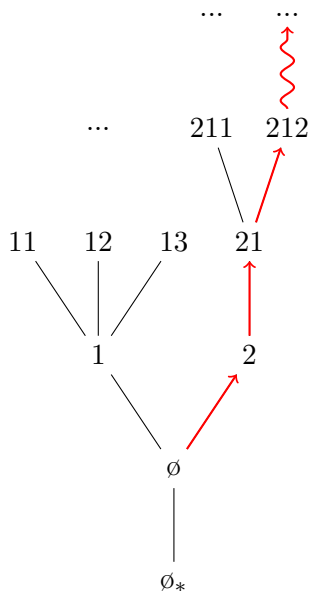
Temps de sortie



Soit $\mathbf{X} = (X_0, X_1, \dots)$ une trajectoire transiente issue de la racine \emptyset dans t .

- ▶ Ensemble des temps de sortie de \mathbf{X} :
$$\text{et}(\mathbf{X}) := \{s \geq 0 : \forall k > s, X_k \neq (X_s)_*\},$$
- ▶ numérotés $\text{et}_0(\mathbf{X}) < \text{et}_1(\mathbf{X}) < \dots$.
- ▶ Points de sortie :
$$\text{ep}_0(\mathbf{X}) = X_{\text{et}_0(\mathbf{X})} = \emptyset,$$
$$\text{ep}_1(\mathbf{X}) = X_{\text{et}_1(\mathbf{X})}, \dots$$

Temps de sortie



Soit $\mathbf{X} = (X_0, X_1, \dots)$ une trajectoire transiente issue de la racine \emptyset dans t .

- ▶ Ensemble des temps de sortie de \mathbf{X} :

$$\text{et}(\mathbf{X}) := \{s \geq 0 : \forall k > s, X_k \neq (X_s)_*\},$$

- ▶ numérotés $\text{et}_0(\mathbf{X}) < \text{et}_1(\mathbf{X}) < \dots$.
- ▶ Points de sortie :

$$\text{ep}_0(\mathbf{X}) = X_{\text{et}_0(\mathbf{X})} = \emptyset,$$

$$\text{ep}_1(\mathbf{X}) = X_{\text{et}_1(\mathbf{X})}, \dots$$

Rayon associé à la marche et mesure harmonique

On note

$$\Xi = (\text{ep}_0(\mathbf{X}), \text{ep}_1(\mathbf{X}), \dots).$$

Rayon associé à la marche et mesure harmonique

On note

$$\Xi = (\text{ep}_0(\mathbf{X}), \text{ep}_1(\mathbf{X}), \dots).$$

Ξ est un rayon aléatoire.

Sa loi notée HARM_t^λ est appelée la *mesure harmonique* sur ∂t .

Rayon associé à la marche et mesure harmonique

On note

$$\Xi = (\text{ep}_0(\mathbf{X}), \text{ep}_1(\mathbf{X}), \dots).$$

Ξ est un rayon aléatoire.

Sa loi notée HARM_t^λ est appelée la *mesure harmonique* sur ∂t .

Pour tout $x \in t$,

$$\begin{aligned} \text{HARM}_t^\lambda(x) &= P_\emptyset^t(x \prec \Xi) \\ &= P_\emptyset^t(\exists s \geq 0, X_s = x \text{ et } \forall k > s, X_k \neq x_*). \end{aligned}$$

Rayon associé à la marche et mesure harmonique

On note

$$\Xi = (\text{ep}_0(\mathbf{X}), \text{ep}_1(\mathbf{X}), \dots).$$

Ξ est un rayon aléatoire.

Sa loi notée HARM_t^λ est appelée la *mesure harmonique* sur ∂t .

Pour tout $x \in t$,

$$\begin{aligned}\text{HARM}_t^\lambda(x) &= P_\emptyset^t(x \prec \Xi) \\ &= P_\emptyset^t(\exists s \geq 0, X_s = x \text{ et } \forall k > s, X_k \neq x_*).\end{aligned}$$

$$\forall 1 \leq i \leq \nu_t(\emptyset), \quad \text{HARM}_t^\lambda(i) = \frac{P^t(\emptyset, i)\beta(t[i])}{\sum_{j=1}^{\nu_t(\emptyset)} P^t(\emptyset, j)\beta(t[j])}.$$

Rayon associé à la marche et mesure harmonique

On note

$$\Xi = (\text{ep}_0(\mathbf{X}), \text{ep}_1(\mathbf{X}), \dots).$$

Ξ est un rayon aléatoire.

Sa loi notée HARM_t^λ est appelée la *mesure harmonique* sur ∂t .

Pour tout $x \in t$,

$$\begin{aligned} \text{HARM}_t^\lambda(x) &= P_\emptyset^t(x \prec \Xi) \\ &= P_\emptyset^t(\exists s \geq 0, X_s = x \text{ et } \forall k > s, X_k \neq x_*). \end{aligned}$$

Pour la marche λ -biaisée,

$$\forall 1 \leq i \leq \nu_t(\emptyset), \quad \text{HARM}_t(i) = \frac{\mathbf{1} \times \beta(t[i])}{\sum_{j=1}^{\nu_t(\emptyset)} \mathbf{1} \times \beta(t[j])}.$$

Dimension de la mesure harmonique

Théorème (Lyons, Pemantle, Peres, 1995, $\lambda = 1$)

Si $\tilde{\mathcal{C}}$ est une copie indépendante de $\sum_{j=1}^{\nu_T(\emptyset)} \beta(T[j])$, alors

$$\dim \text{HARM}_t^1 = C_1^{-1} \mathbb{E} \left[(-\log) (1 - \beta(T)) \frac{\beta(T) \tilde{\mathcal{C}}}{\beta(T) + \tilde{\mathcal{C}}} \right]$$

$< \log(m) = \dim_{\text{H}} \partial t$ pour **GW**-presque tout t .

Dimension de la mesure harmonique

Théorème (Lyons, Pemantle, Peres, 1995, $\lambda = 1$)

Si $\tilde{\mathcal{C}}$ est une copie indépendante de $\sum_{j=1}^{\nu_T(\emptyset)} \beta(T[j])$, alors

$$\dim \text{HARM}_t^1 = C_1^{-1} \mathbb{E} \left[(-\log) (1 - \beta(T)) \frac{\beta(T) \tilde{\mathcal{C}}}{\beta(T) + \tilde{\mathcal{C}}} \right]$$

$< \log(m) = \dim_{\text{H}} \partial t$ pour **GW**-presque tout t .

Théorème (Lyons, Pemantle, Peres, 1996, $0 < \lambda < m$)

Il existe $d_\lambda \in (0, \log m)$, telle que pour **GW**-presque tout t ,
 $\dim \text{HARM}_t^\lambda = d_\lambda$.

Dimension de la mesure harmonique

Théorème (Lyons, Pemantle, Peres, 1995, $\lambda = 1$)

Si $\tilde{\mathcal{C}}$ est une copie indépendante de $\sum_{j=1}^{\nu_T(\emptyset)} \beta(T[j])$, alors

$$\dim \text{HARM}_t^1 = C_1^{-1} \mathbb{E} \left[(-\log) (1 - \beta(T)) \frac{\beta(T) \tilde{\mathcal{C}}}{\beta(T) + \tilde{\mathcal{C}}} \right] \\ < \log(m) = \dim_{\text{H}} \partial t \quad \text{pour } \mathbf{GW}\text{-presque tout } t.$$

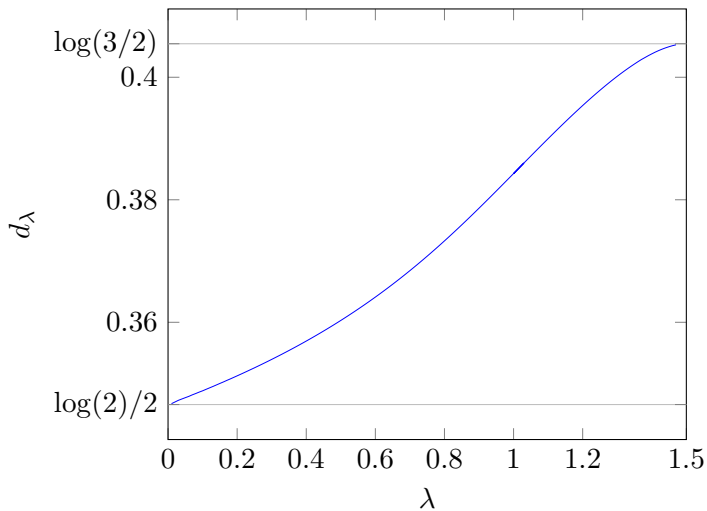
Théorème (Lyons, Pemantle, Peres, 1996, $0 < \lambda < m$)

Il existe $d_\lambda \in (0, \log m)$, telle que pour \mathbf{GW} -presque tout t , $\dim \text{HARM}_t^\lambda = d_\lambda$.

Théorème (Lin 2018+, R. 2018)

$$d_\lambda = \log(\lambda) + C_\lambda^{-1} \mathbb{E} \left[(-\log) (1 - \beta(T)) \frac{\lambda \beta(T) \tilde{\mathcal{C}}}{\lambda - 1 + \beta(T) + \tilde{\mathcal{C}}} \right].$$

Calculs numériques de d_λ pour $p_1 = p_2 = 1/2$



Les arbres et leurs bords

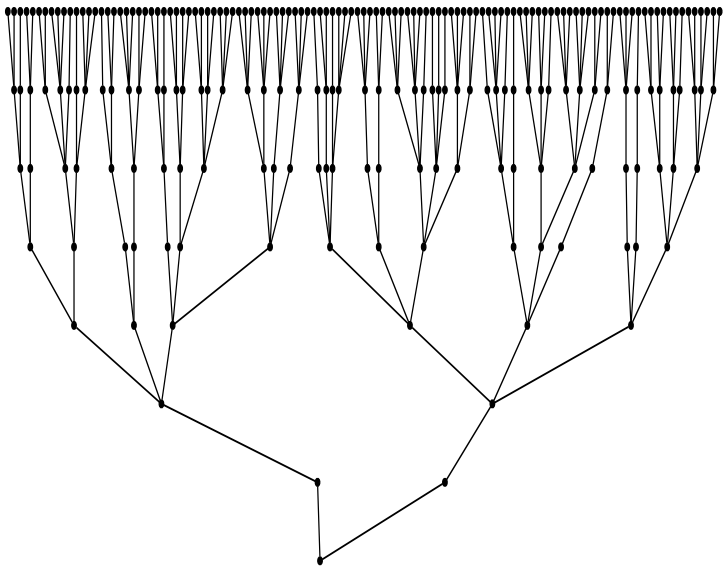
Marche aléatoire λ -biaisée

Théorie ergodique sur les arbres de Galton-Watson

Arbres à longueurs récursives

Arbres pondérés aléatoires : cas transient

Arbres pondérés aléatoires : cas sous-diffusif



Flot limite uniforme

$$m = \sum_{k \geq 1} k p_k < \infty.$$

Pour $n \geq 0$, $Z_n(T) = \#\{x \in T : |x| = n\}$.

Sous l'hypothèse $\sum_{k \geq 1} p_k k \log k < \infty$, (Kesten-Stigum)

$$\lim_{n \rightarrow \infty} Z_n(T)/m^n = W(T) \in]0, \infty[, \quad \text{p.s.}$$

Comme $Z_{n+1}(T) = \sum_{i=1}^{\nu_T(\emptyset)} Z_n(T[i])$,

$$W(T) = \frac{1}{m} \sum_{|i|=1} W(T[i]) = \cdots = \frac{1}{m^k} \sum_{|x|=k} W(T[x]).$$

Flot UNIF_T : pour tout x de génération k dans T ,

$$\text{UNIF}_T(x) = \frac{W(T[x])}{m^k W(T)}.$$

Arbres marqués

- ▶ Arbre marqué : (t, mk_t) avec $\text{mk}_t : t \rightarrow (\text{Marks}, d_{\text{Marks}})$;
- ▶ $\text{Marks} = ?$
 - ▶ un sous-intervalle J de $]0, \infty[$;
 - ▶ l'ensemble des suites finies d'éléments de $]0, \infty[$;
 - ▶ $\{1\}$;
 - ▶ ...
- ▶ arbre de Galton-Watson marqué : tirages i.i.d. de couples (N_x, M_x) à valeurs dans $\mathbb{N}^* \times \text{Marks}$;
- ▶ les flots peuvent aussi dépendre des marques.

Règle de flot (Lyons, Peres, Pemantle, 1995)

- ▶ Soit $\phi : \mathcal{T}_m \rightarrow [0, \infty]$.
- ▶ Exemples : $\phi = W$ (pour UNIF), $\phi = \beta$ (pour HARM $^\lambda$), $\phi = 1$ (pour VIS).
- ▶ $A = \{t \in \mathcal{T}_m : \phi(t) \in]0, \infty[\}$;
- ▶ partie héritée : $A^\circ = \{t \in \mathcal{T}_m : \forall x \in t, t[x] \in A \}$;
- ▶ pour t dans A° , flot Θ_t défini par

$$\Theta_t(i) = \frac{\phi(t[i])}{\sum_{j=1}^{\nu_t(\emptyset)} \phi(t[j])}, \quad \forall i \in t_1;$$

Règle de flot (Lyons, Peres, Pemantle, 1995)

- ▶ Soit $\phi : \mathcal{T}_m \rightarrow [0, \infty]$.
- ▶ Exemples : $\phi = W$ (pour UNIF), $\phi = \beta$ (pour HARM $^\lambda$), $\phi = 1$ (pour VIS).
- ▶ $A = \{t \in \mathcal{T}_m : \phi(t) \in]0, \infty[\}$;
- ▶ partie héritée : $A^\circ = \{t \in \mathcal{T}_m : \forall x \in t, t[x] \in A \}$;
- ▶ pour t dans A° , flot Θ_t défini par

$$\Theta_t(i) = \frac{\phi(t[i])}{\sum_{j=1}^{\nu_t(\emptyset)} \phi(t[j])}, \quad \forall i \in t_1;$$

$$\Theta_t(x) = \prod_{\emptyset \prec y \preceq x} \frac{\phi(t[y])}{\sum_{z_* = y_*} \phi(t[z])}, \quad \forall x \in t.$$

Règle de flot (Lyons, Peres, Pemantle, 1995)

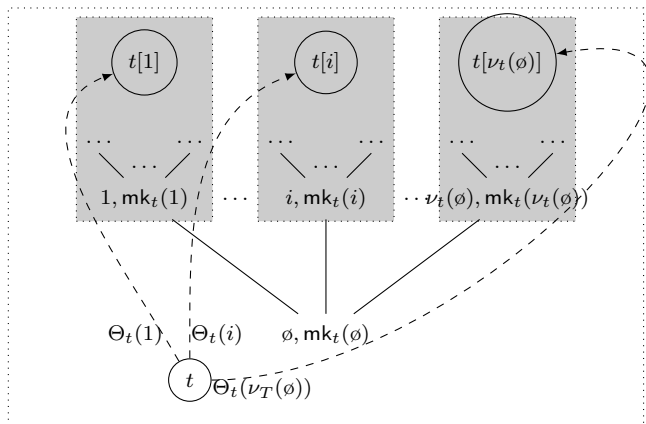
- ▶ Soit $\phi : \mathcal{T}_m \rightarrow [0, \infty]$.
- ▶ Exemples : $\phi = W$ (pour UNIF), $\phi = \beta$ (pour HARM $^\lambda$), $\phi = 1$ (pour VIS).
- ▶ $A = \{t \in \mathcal{T}_m : \phi(t) \in]0, \infty[\}$;
- ▶ partie héritée : $A^\circ = \{t \in \mathcal{T}_m : \forall x \in t, t[x] \in A \}$;
- ▶ pour t dans A° , flot Θ_t défini par

$$\Theta_t(i) = \frac{\phi(t[i])}{\sum_{j=1}^{\nu_t(\emptyset)} \phi(t[j])}, \quad \forall i \in t_1;$$

$$\Theta_t(x) = \prod_{\emptyset \prec y \preceq x} \frac{\phi(t[y])}{\sum_{z_* = y_*} \phi(t[z])}, \quad \forall x \in t.$$

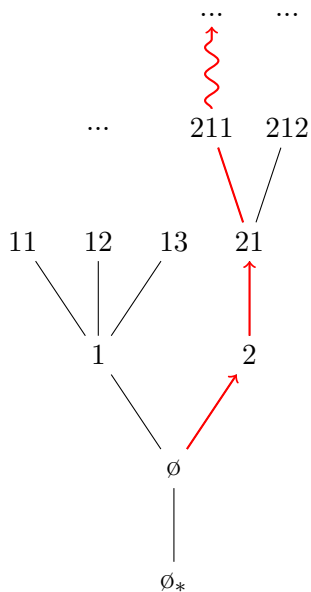
- ▶ Si $xy \in t$, alors $\Theta_t(xy) = \Theta_t(x)\Theta_{t[x]}(y)$.

Chaîne de Markov sur \mathcal{T}_m



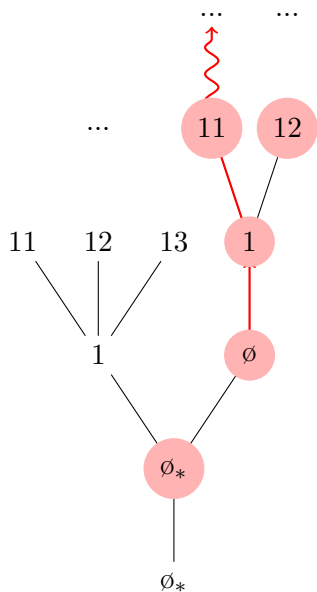
- ▶ μ probabilité borélienne sur \mathcal{T}_m tq $\mu(A^\circ) = 1$;
- ▶ $T^{(0)} \sim \mu$;
- ▶ $\forall i \in t_1, \mathbb{P}(T^{(1)} = t[i] \mid T^{(0)} = t) = \Theta_t(i)$.
- ▶ Si $T^{(1)} \sim \mu$, on dit que μ est Θ -invariante.

Arbres parcourus par un rayon



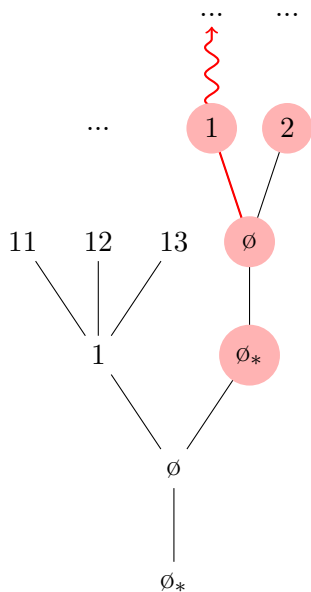
- ▶ $\mathcal{I}_{m,r} = \{(t, \xi) : t \in \mathcal{T}_m, \xi \in \partial t\}$;
- ▶ Shift : $S(t, \xi) = (t[\xi_1], \xi_1^{-1}\xi)$.

Arbres parcourus par un rayon



- ▶ $\mathcal{I}_{m,r} = \{(t, \xi) : t \in \mathcal{T}_m, \xi \in \partial t\}$;
- ▶ Shift : $S(t, \xi) = (t[\xi_1], \xi_1^{-1}\xi)$.

Arbres parcourus par un rayon



- ▶ $\mathcal{I}_{m,r} = \{(t, \xi) : t \in \mathcal{T}_m, \xi \in \partial t\}$;
- ▶ Shift : $S(t, \xi) = (t[\xi_1], \xi_1^{-1}\xi)$.

Théorème central

Théorème (Lyons, Pemantle, Peres 1995)

Si μ est Θ -invariante et absolument continue par rapport à **GW**, alors :

- ▶ μ est équivalente à **GW** ;
- ▶ le système $(\mathcal{I}_{m,r}, \mathbf{S}, \mu)$ préserve la mesure et est ergodique ;
- ▶ pour **GW**-presque tout t , pour Θ_t -presque tout $\xi \in \partial t$,

$$\begin{aligned} \lim_{n \rightarrow \infty} \frac{-1}{n} \log \Theta_t(\xi_n) &= \int \left(\int -\log \Theta_t(\xi_1) d\Theta_t(\xi) \right) d\mu(t) \\ &= \dim \Theta_t. \end{aligned}$$

Exemples de calculs de dimension

(On oublie temporairement les marques.)

- ▶ Pour VIS, **GW** est stationnaire. On a p.s.

$$\dim \text{VIS}_T = \mathbb{E}[\log \nu_T(\emptyset)] \underbrace{<}_{\text{Jensen}} \log m.$$

- ▶ Pour UNIF, la mesure de densité W par rapport à **GW** est invariante. On trouve

$$\dim \text{UNIF}_T = \log m (= \dim_{\text{H}} \partial T), \quad \text{p.s.}$$

Théorème (Lyons, Pemantle, Peres, 1995)

*Sous les hypothèses du théorème précédent, pour **GW**-presque tout t , $\dim \Theta_t < \log m$, sauf si Θ_t est presque sûrement égal à UNIF_t .*

Une construction de mesures invariantes

Hypothèses :

- ▶ $\phi : \mathcal{T}_m \rightarrow J$, J sous-intervalle de $]0, \infty[$;
- ▶ $\text{Marks} = J$;
- ▶ marques indépendantes des nombres d'enfants.
- ▶ On peut récupérer la valeur de $\phi(t)$ avec seulement
 - ▶ la somme $\sum_{j=1}^{\nu_t(\emptyset)} \phi(t[j])$ et
 - ▶ la marque $\text{mk}_t(\emptyset)$:

$$\phi(t) = h\left(\text{mk}_t(\emptyset), \sum_{j=1}^{\nu_t(\emptyset)} \phi(t[j])\right) = \text{mk}_t(\emptyset) \odot \sum_{j=1}^{\nu_t(\emptyset)} \phi(t[j]).$$

Une construction de mesures invariantes

$$\phi(t) = h\left(\mathbf{mk}_t(\emptyset), \sum_{j=1}^{\nu_t(\emptyset)} \phi(t[j])\right) = \mathbf{mk}_t(\emptyset) \odot \sum_{j=1}^{\nu_t(\emptyset)} \phi(t[j]).$$

On suppose que \odot , loi de composition interne sur J , est *commutative*, *associative* et vérifie

$$\forall u, v \in J, \forall s \in \mathbb{R}_+, \quad \frac{(u + s) \odot v}{u \odot (s + v)} = \frac{(u + s)v}{u(s + v)}.$$

Exemple de lois \odot :

- ▶ $J =]0, \infty[$ et $u \odot v = \alpha uv$ pour un $\alpha > 0$;
- ▶ $J =]\max(0, -c), \infty[$ et $u \odot v = uv/(u + v + c)$, pour un $c > 0$.

Une construction de mesures invariantes

On pose, pour $u > 0$,

$$\kappa(u) = \mathbb{E} \left[u \odot \sum_{j=1}^{\tilde{\nu}} \phi(\tilde{T}[i]) \right].$$

Théorème (R. 2018)

*Si, de plus, $\mathbb{E} [\kappa(\phi(T))] < \infty$, alors la mesure (renormalisée) de densité $\kappa(\phi(T))$ par rapport à **GW** est Θ -invariante.*

Marche λ -biaisée : éléments de preuve

$$\beta(T) = \frac{\sum_{j=1}^{\nu_T(\emptyset)} \beta(T[j])}{\lambda + \sum_{j=1}^{\nu_T(\emptyset)} \beta(T[j])} = \frac{\mathbf{1} \times \sum_{j=1}^{\nu_T(\emptyset)} \beta(T[j])}{\lambda - 1 + \mathbf{1} + \sum_{j=1}^{\nu_T(\emptyset)} \beta(T[j])},$$
$$\text{HARM}_T(i) = \frac{\beta(T[i])}{\sum_{j=1}^{\nu_T(\emptyset)} \beta(T[j])}.$$

Marche λ -biaisée : éléments de preuve

$$\beta(T) = \frac{\sum_{j=1}^{\nu_T(\emptyset)} \beta(T[j])}{\lambda + \sum_{j=1}^{\nu_T(\emptyset)} \beta(T[j])} = \frac{\mathbf{1} \times \sum_{j=1}^{\nu_T(\emptyset)} \beta(T[j])}{\lambda - 1 + \mathbf{1} + \sum_{j=1}^{\nu_T(\emptyset)} \beta(T[j])},$$
$$\text{HARM}_T(i) = \frac{\beta(T[i])}{\sum_{j=1}^{\nu_T(\emptyset)} \beta(T[j])}.$$

- ▶ $\phi(T) = \beta(T)$;
- ▶ marques constantes égales à 1.

On cherche la bonne opération \odot :

Marche λ -biaisée : éléments de preuve

$$\beta(T) = \frac{\sum_{j=1}^{\nu_T(\emptyset)} \beta(T[j])}{\lambda + \sum_{j=1}^{\nu_T(\emptyset)} \beta(T[j])} = \frac{\mathbf{1} \times \sum_{j=1}^{\nu_T(\emptyset)} \beta(T[j])}{\lambda - 1 + \mathbf{1} + \sum_{j=1}^{\nu_T(\emptyset)} \beta(T[j])},$$
$$\text{HARM}_T(i) = \frac{\beta(T[i])}{\sum_{j=1}^{\nu_T(\emptyset)} \beta(T[j])}.$$

- ▶ $\phi(T) = \beta(T)$;
- ▶ marques constantes égales à 1.

On cherche la bonne opération \odot :

$$u \odot v = \frac{uv}{\lambda - 1 + u + v}.$$

Les arbres et leurs bords

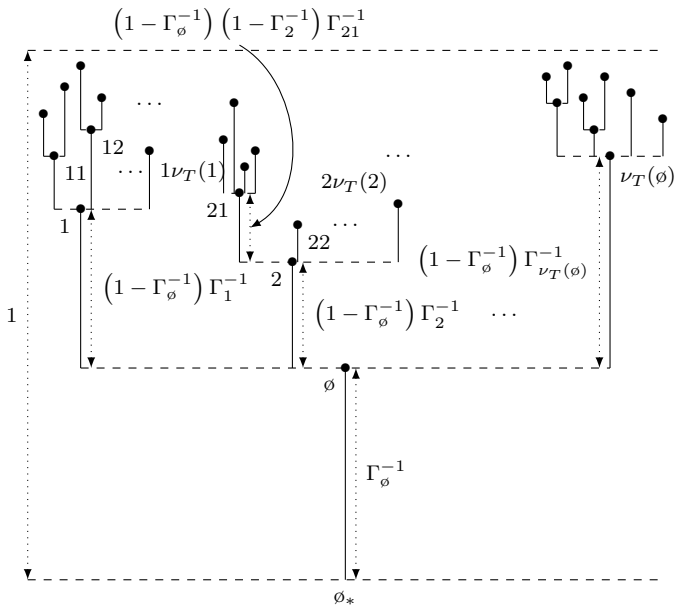
Marche aléatoire λ -biaisée

Théorie ergodique sur les arbres de Galton-Watson

Arbres à longueurs récursives

Arbres pondérés aléatoires : cas transient

Arbres pondérés aléatoires : cas sous-diffusif



Description du modèle

- ▶ Arbre de Galton-Watson de loi de reproduction \mathbf{p} ($p_0 = 0$ et $p_1 < 1$);
- ▶ famille i.i.d. de marques $(\Gamma_x)_{x \in T}$ à valeurs dans $]1, \infty[$;
- ▶ marche aléatoire aux plus proches voisins avec probabilités de transition *inversement proportionnelles aux longueurs d'arêtes*. Après simplification :

$$P^t(x, y) = \begin{cases} \Gamma_{xi} / \left(\Gamma_x - 1 + \sum_{j=1}^{\nu_t(x)} \Gamma_{xj} \right) & \text{si } y = xi, \\ (\Gamma_x - 1) / \left(\Gamma_x - 1 + \sum_{j=1}^{\nu_t(x)} \Gamma_{xj} \right) & \text{si } y = x_*. \end{cases}$$

- ▶ Généralise un modèle utilisé et étudié par Nicolas Curien et Jean-François Le Gall (Γ^{-1} uniforme sur $]0, 1[$ et $p_2 = 1$), puis Shen Lin ($p_k = \frac{\alpha \Gamma(k-\alpha)}{k! \Gamma(2-\alpha)}$, $k \geq 2$, $\alpha \in]1, 2[$).

Mesure harmonique

- ▶ La marche est *transiente* donc la mesure harmonique est définie.
- ▶ Pour $1 \leq i \leq \nu_T(\emptyset)$,

$$\text{HARM}_T^\Gamma(i) = \frac{\Gamma_i \beta(T[i])}{\sum_{j=1}^{\nu_T(\emptyset)} \Gamma_j \beta(T[j])}.$$

- ▶ On pose $\phi(T) = \Gamma_\emptyset \beta(T)$ et on a

$$\phi(T) = \frac{\Gamma_\emptyset \sum_{j=1}^{\nu_T(\emptyset)} \phi(T[j])}{\Gamma_\emptyset - 1 + \sum_{j=1}^{\nu_T(\emptyset)} \phi(T[j])} = \Gamma_\emptyset \odot \sum_{j=1}^{\nu_T(\emptyset)} \phi(T[j]),$$

- ▶ avec $u \odot v = uv/(u + v - 1)$.

Distance associée aux longueurs

- ▶ Γ -hauteur de x dans T :

$$|x|^\Gamma = \sum_{y \preceq x} \left(\prod_{z \prec y} (1 - \Gamma_z^{-1}) \right) \Gamma_y^{-1}.$$

- ▶ On a la relation

$$1 - |x|^\Gamma = \prod_{y \preceq x} (1 - \Gamma_y^{-1}).$$

- ▶ Pour deux rayons distincts ξ et η :

$$d^\Gamma(\xi, \eta) = 1 - |\xi \wedge \eta|^\Gamma.$$

Paramètre de Malthus

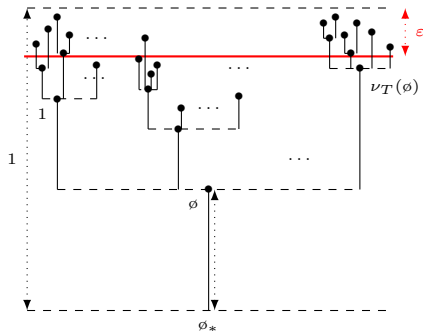
- Unique $\alpha > 0$ tel que

$$\mathbb{E}[(1 - \Gamma_{\phi}^{-1})^{\alpha}] = 1/m.$$

- Taille de la population (Jagers-Nerman 1984) : pour $\varepsilon > 0$,

$$A_{\varepsilon} = \{x \in T : 1 - |x|^{\Gamma} \leq \varepsilon \leq 1 - |x_*|^{\Gamma}\}$$

$$\lim_{\varepsilon \rightarrow 0} \varepsilon^{\alpha} \# A_{\varepsilon} =: W^{\Gamma}(T) \in]0, \infty[\quad \text{p.s.}$$



Paramètre de Malthus

- ▶ Unique $\alpha > 0$ tel que

$$\mathbb{E}[(1 - \Gamma_{\emptyset}^{-1})^{\alpha}] = 1/m.$$

- ▶ Taille de la population (Jagers-Nerman 1984) : pour $\varepsilon > 0$,

$$A_{\varepsilon} = \{x \in T : 1 - |x|^{\Gamma} \leq \varepsilon \leq 1 - |x_*|^{\Gamma}\}$$

$$\lim_{\varepsilon \rightarrow 0} \varepsilon^{\alpha} \# A_{\varepsilon} =: W^{\Gamma}(T) \in]0, \infty[\quad \text{p.s.}$$

- ▶ Mesure limite uniforme par rapport à la distance d^{Γ} :

$$\text{UNIF}^{\Gamma}(i) = \frac{W^{\Gamma}(T[i])}{\sum_{j=1}^{\nu_T(\emptyset)} W^{\Gamma}(T[j])}.$$

- ▶ La dimension de ∂T et de UNIF^{Γ} pour la distance d^{Γ} est presque sûrement égale au paramètre de Malthus.

Dimension pour la distance associée aux longueurs

- ▶ Chute de dimension pour toutes les règles de flots différentes de UNIF^{Γ} qui admettent une mesure invariante absolument continue par rapport à la loi de l'arbre.

Dimension pour la distance associée aux longueurs

- ▶ Chute de dimension pour toutes les règles de flots différentes de UNIF^Γ qui admettent une mesure invariante absolument continue par rapport à la loi de l'arbre.

Théorème (R. 2018)

Si $\kappa(\phi(T))$ est intégrable, la dimension de la mesure HARM_T^Γ par rapport à d^Γ est presque sûrement égale à

$$\dim^{d^\Gamma} \text{HARM}^\Gamma(T) = \frac{\mathbb{E} \left[\log \left(1 - \Gamma_\emptyset^{-1} \phi(T) \right) \kappa(\phi(T)) \right]}{\mathbb{E} \left[\log \left(1 - \Gamma_\emptyset^{-1} \right) \kappa(\phi(T)) \right]} - 1,$$

Elle est strictement inférieure à α sauf si Γ et la loi de reproduction sont toutes les deux dégénérées.

Les arbres et leurs bords

Marche aléatoire λ -biaisée

Théorie ergodique sur les arbres de Galton-Watson

Arbres à longueurs récursives

Arbres pondérés aléatoires : cas transient

Arbres pondérés aléatoires : cas sous-diffusif

Suites finies de réels positifs

Espace

$$\text{Tuples} = \bigsqcup_{k \geq 1}]0, \infty[^k.$$

\mathbf{q} une mesure borélienne de probabilité sur Tuples.

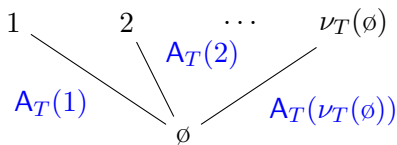
Exemple :

1. $N, A(1), A(2)$ v.a. indépendantes à valeurs dans $]0, \infty[$.
2. $\mathbb{P}(N = 1) = \mathbb{P}(N = 2) = 1/2$;
3. \mathbf{q} : loi du vecteur égal à $(A(1), A(2))$ si $N = 2$, $(A(1))$ si $N = 1$.

Arbres de Galton-Watson pondérés

Famille i.i.d. (\mathbf{A}^x) de loi commune \mathbf{q} .

$$\mathbf{A}^\emptyset = (\mathbf{A}_T(1), \mathbf{A}_T(2), \dots, \mathbf{A}_T(\nu_T(\emptyset))).$$

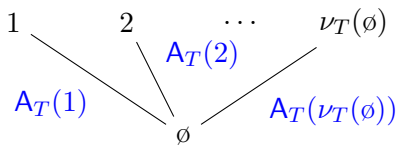


- ▶ Recommencer pour les enfants de \emptyset , avec $(\mathbf{A}^i)_{1 \leq i \leq \nu_T(\emptyset)}$ puis ses petits-enfants, etc.
- ▶ T arbre aléatoire, avec $\mathbf{A}_T : T \setminus \{\emptyset\} \rightarrow]0, \infty[$ fonction de poids, est un arbre pondéré aléatoire.

Arbres de Galton-Watson pondérés

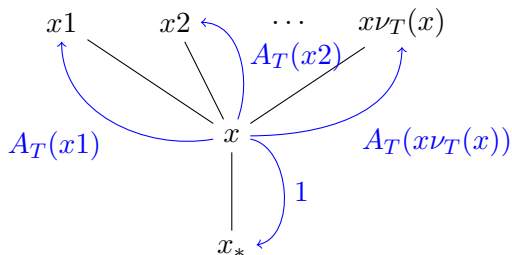
Famille i.i.d. (\mathbf{A}^x) de loi commune \mathbf{q} .

$$\mathbf{A}^\emptyset = (\mathbf{A}_T(1), \mathbf{A}_T(2), \dots, \mathbf{A}_T(\nu_T(\emptyset))).$$



- ▶ Recommencer pour les enfants de \emptyset , avec $(\mathbf{A}^i)_{1 \leq i \leq \nu_T(\emptyset)}$ puis ses petits-enfants, etc.
- ▶ T arbre aléatoire, avec $\mathbf{A}_T : T \setminus \{\emptyset\} \rightarrow]0, \infty[$ fonction de poids, est un arbre pondéré aléatoire.

Marche aléatoire sur un arbre pondéré



Noyau de transition P^T :

$$P^T(x, x_*) = \frac{1}{1 + \sum_{j=1}^{\nu_T(x)} A_T(x_j)};$$

$$P^T(x, x_i) = \frac{A_T(x_i)}{1 + \sum_{j=1}^{\nu_T(x)} A_T(x_j)} \quad i = 1, \dots, \nu_T(x).$$

Transience

Soit, pour $s \geq 0$,

$$\psi(s) = \log \mathbb{E} \left[\sum_{i=1}^{\nu_T(\emptyset)} A_T(i)^s \right] \in]-\infty, \infty].$$

Théorème (Lyons-Pemantle 1992, Faraud 2011)

Si $\min_{s \in [0,1]} \psi(s) > 0$, alors la marche aléatoire sur l'arbre pondéré T est p.s. transiente.

Transience

Soit, pour $s \geq 0$,

$$\psi(s) = \log \mathbb{E} \left[\sum_{i=1}^{\nu_T(\emptyset)} A_T(i)^s \right] \in]-\infty, \infty].$$

Théorème (Lyons-Pemantle 1992, Faraud 2011)

Si $\min_{s \in [0,1]} \psi(s) > 0$, alors la marche aléatoire sur l'arbre pondéré T est p.s. transiente.

Questions :

- ▶ Existence d'une mesure HARM-invariante ?
- ▶ Chute de dimension pour HARM_T ?

Chute de dimension

Théorème (R. 2018+)

Dans le cas transient, existence d'une mesure HARM-invariante absolument continue par rapport à la loi de l'arbre et si \mathbf{q} n'est pas une mesure de Dirac, il existe une constante $\alpha \in]0, \log(m)[$ telle que, presque sûrement,

$$\lim_{n \rightarrow \infty} -\frac{1}{n} \log(\text{HARM}_T[\Xi_n]) = \dim_{\text{H}} \text{HARM}_T = \alpha.$$

- ▶ Stratégie de preuve évoquée dans un article de Lyons, Pemantle et Peres (1996) dans le cas de la marche λ -biaisée ($\mathbf{A}_T = \lambda^{-1}$).
- ▶ Outils : théorie du renouvellement et théorie ergodique.
- ▶ Expression (peu explicite) pour la mesure invariante (et donc α).

Les arbres et leurs bords

Marche aléatoire λ -biaisée

Théorie ergodique sur les arbres de Galton-Watson

Arbres à longueurs récursives

Arbres pondérés aléatoires : cas transient

Arbres pondérés aléatoires : cas sous-diffusif

La martingale de Mandelbrot

Rappel : pour $s \geq 0$,

$$\psi(s) = \log \mathbb{E} \left[\sum_{i=1}^{\nu_T(\emptyset)} A_T(i)^s \right].$$

Cas dit *normalisé*

$$\psi(1) = \log \mathbb{E} \sum_{i=1}^{\nu_T(\emptyset)} A_T(i) = 0. \quad (H_{\text{normalisé}})$$

Martingale de Mandelbrot (1974) : pour $n \geq 1$,

$$M_n(T) = \sum_{|x|=n} \prod_{\emptyset \prec y \preceq x} A_T(y).$$

Existence d'une v.a. $M_\infty(T)$ telle que

$$\lim_{n \rightarrow \infty} M_n(T) = M_\infty(T) \quad \text{p.s.}$$

Théorème de Biggins

Question : quand est-ce que $M_\infty(T)$ est non-dégénérée ?

Théorème de Biggins

Question : quand est-ce que $M_\infty(T)$ est non-dégénérée ?

Réponse (Kahane-Peyrière 1976, Biggins 1977, Lyons 1997) :

Sous les hypothèses

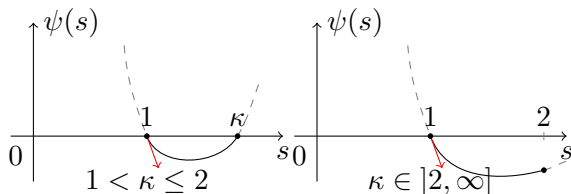
$$\psi'(1) := \mathbb{E} \left[\sum_{i=1}^{\nu_T(\emptyset)} \mathbf{A}_T(i) \log \mathbf{A}_T(i) \right] \in [-\infty, 0[; \quad (H_{\text{dérivée}})$$

$$\mathbb{E} \left[\left(\sum_{i=1}^{\nu_T(\emptyset)} \mathbf{A}_T(i) \right) \log^+ \left(\sum_{i=1}^{\nu_T(\emptyset)} \mathbf{A}_T(i) \right) \right] < \infty, \quad (H_{X \log^+ X})$$

on a convergence dans L^1 et $M_\infty(T) > 0$ p.s.

Si $\psi'(1)$ est fini, ces conditions sont aussi nécessaires.

Cas sous-diffusif



On pose $\kappa = \inf\{s > 1 : \psi(s) = 0\} \in]1, \infty]$. Hypothèses :

$$\mathbb{E}\left[\left(\sum_{i=1}^{\nu_T(\emptyset)} A_T(i)\right)^\kappa\right] + \mathbb{E}\left[\sum_{i=1}^{\nu_T(\emptyset)} A_T(i)^\kappa \log^+ A_T(i)\right] < \infty, \quad \text{si } 1 < \kappa \leq 2,$$

$$\mathbb{E}\left[\left(\sum_{i=1}^{\nu_T(\emptyset)} A_T(i)\right)^2\right] < \infty, \quad \text{si } \kappa \in]2, \infty].$$

(H_κ)

Conductance entre \emptyset et le niveau n

Marche aléatoire sur $T \leftrightarrow$ réseau électrique sur T .

Conductance de l'arête $\{x_*, x\} : \prod_{\emptyset \prec y \preceq x} \mathbf{A}_T(x)$.

Conductance entre \emptyset et le niveau n :

$$\mathcal{C}_n(T) = \frac{P_\emptyset^T(\tau^{(n)} < \tau_\emptyset^+)}{P^T(\emptyset, \emptyset_*)}.$$

Par récurrence de la marche, $\mathcal{C}_n(T) \rightarrow 0$, p.s.

Conductance entre \emptyset et le niveau n

Marche aléatoire sur $T \leftrightarrow$ réseau électrique sur T .

Conductance de l'arête $\{x_*, x\} : \prod_{\emptyset \prec y \preceq x} \mathbf{A}_T(x)$.

Conductance entre \emptyset et le niveau n :

$$\mathcal{C}_n(T) = \frac{P_\emptyset^T(\tau^{(n)} < \tau_\emptyset^+)}{P^T(\emptyset, \emptyset_*)}.$$

Par récurrence de la marche, $\mathcal{C}_n(T) \rightarrow 0$, p.s.

- ▶ À quelle vitesse ?
- ▶ Quelle loi limite si on renormalise $\mathcal{C}_n(T)$ par cette vitesse ?

Réponse partielle :

Théorème (Rousselin 2018+)

Sous les hypothèses ($H_{\text{normalisé}}$), ($H_{\text{dérivée}}$) et (H_{κ}),

si $1 < \kappa < 2$,

$$0 < \liminf_{n \rightarrow \infty} n^{1/(\kappa-1)} \mathbb{E}[\mathcal{C}_n(T)] \leq \limsup_{n \rightarrow \infty} n^{1/(\kappa-1)} \mathbb{E}[\mathcal{C}_n(T)] < \infty;$$

si $\kappa = 2$,

$$0 < \liminf_{n \rightarrow \infty} n \log n \mathbb{E}[\mathcal{C}_n(T)] \leq \limsup_{n \rightarrow \infty} n \log n \mathbb{E}[\mathcal{C}_n(T)] < \infty;$$

$$\lim_{n \rightarrow \infty} n \mathbb{E}[\mathcal{C}_n(T)] = \|M_{\infty}(T)\|_2 \quad \text{si } \kappa > 2.$$

Dans tous les cas, presque sûrement et dans L^p pour $p \in [1, \kappa[$,
si $1 < \kappa \leq 2$ et dans L^2 si $\kappa > 2$,

$$\lim_{n \rightarrow \infty} \mathcal{C}_n(T) / \mathbb{E}[\mathcal{C}_n(T)] = M_{\infty}(T).$$

Questions : (liste non exhaustive...)

- ▶ Sur ce dernier modèle :
 - ▶ $\liminf = \limsup$?
 - ▶ théorème central limite (ou au moins taille des fluctuations) ?
 - ▶ lien avec les travaux de Aïdékon-de Raphélis ?

Questions : (liste non exhaustive...)

- ▶ Sur ce dernier modèle :
 - ▶ $\liminf = \limsup$?
 - ▶ théorème central limite (ou au moins taille des fluctuations) ?
 - ▶ lien avec les travaux de Aïdékon-de Raphélis ?
- ▶ Sur les arbres pondérés transients :
 - ▶ liens avec la vitesse ?
 - ▶ possible d'obtenir (au moins dans certains cas particuliers) une formule « plus explicite » pour la dimension ?

Questions : (liste non exhaustive...)

- ▶ Sur ce dernier modèle :
 - ▶ $\liminf = \limsup$?
 - ▶ théorème central limite (ou au moins taille des fluctuations) ?
 - ▶ lien avec les travaux de Aïdékon-de Raphélis ?
- ▶ Sur les arbres pondérés transients :
 - ▶ liens avec la vitesse ?
 - ▶ possible d'obtenir (au moins dans certains cas particuliers) une formule « plus explicite » pour la dimension ?
- ▶ Sur les marches λ -biaisées :
 - ▶ monotonie, régularité de la dimension en fonction de λ ?
 - ▶ est-ce que $\dim_{\text{H}} \text{VIS}_T$ est une borne inférieure ?
 - ▶ vitesse de convergence de $\frac{-1}{n} \log(\text{HARM}_T(\Xi_n))$?
 - ▶ calcul « moins magique » de la dimension ?
 - ▶ entropie asymptotique = vitesse \times dimension ? monotonie de cette entropie ?
 - ▶ Plus d'informations sur β ?

Merci pour votre attention !

